1 Постановка дифференциальной задачи

Система уравнений, описывающая нестационарное движение баротропного газа в области Ω, выглядит следующим образом

$$\begin{aligned}
&\frac{\partial \rho}{\partial t} + \frac{\partial \rho u_1}{\partial x_1} + \frac{\partial \rho u_2}{\partial x_2} = 0, \\
&\frac{\partial \rho u_1}{\partial t} + \frac{\partial \rho u_1^2}{\partial x_1} + \frac{\partial \rho u_2 u_1}{\partial x_2} + \frac{\partial p}{\partial x_1} = \mu \left(\frac{4}{3}\frac{\partial^2 u_1}{\partial x_1^2} + \frac{\partial^2 u_1}{\partial x_2^2} + \frac{1}{3}\frac{\partial^2 u_2}{\partial x_1 \partial x_2} \right) + \rho f_1, \\
&\frac{\partial \rho u_2}{\partial t} + \frac{\partial \rho u_1 u_2}{\partial x_1} + \frac{\partial \rho u_2^2}{\partial x_2} + \frac{\partial p}{\partial x_2} = \mu \left(\frac{1}{3}\frac{\partial^2 u_1}{\partial x_1 \partial x_2} + \frac{\partial^2 u_2}{\partial x_1^2} + \frac{4}{3}\frac{\partial^2 u_2}{\partial x_2^2} \right) + \rho f_2,
\end{aligned} \tag{1.1}$$

Неизвестные функции: плотность ρ и вектор скорости $\mathbf{u}$ являются функциями переменных Эйлера

$$(t, \mathbf{x}) \in Q = [0, T] \times \bar{\Omega}.$$

Обозначим через Ω_{nm} квадрат, координаты точек которого удовлетворяют неравенствам $n < x < (n+1)$ и $m < y < (m+1)$. Множества точек, составляющие стороны квадрата Ω_{nm} обозначим Γ_{nm}^{x-}, Γ_{nm}^{x+}, Γ_{nm}^{y-} и Γ_{nm}^{y+}, где индекс x или y означает какая из координат на стороне является постоянной, а $+$ или - означает максимальное или минимальное значение принимает эта координата.

Заданная область: 9. $\bar{\Omega} = \bar{\Omega}_{01} \cup \bar{\Omega}_{02} \cup \bar{\Omega}_{11} \cup \bar{\Omega}_{12} \cup \bar{\Omega}_{20} \cup \bar{\Omega}_{21} \cup \bar{\Omega}_{22}$,

Граничные условия для неизвестного решения: $u_1|_{\Gamma_{01}^{x-} \cup \Gamma_{02}^{x-}} = w$, $\frac{\partial u_2}{\partial y}|_{\Gamma_{20}^{y-}} = 0$. На остальных участках границы функция плотности считается неизвестной и подлежит определению, а компоненты функции скорости равны нулю.

2 Схема А.Г.Соколова ПЛОТНОСТЬ-СКОРОСТЬ

Сеточная функция $\mathbf{V}$, приближающая функцию вектора скорости $\mathbf{u}$, определяется в узлах сетки $\bar{Q}_{\tau\bar{h}}$, а значения функции H, приближающей функцию плотности ρ, ищутся в узлах сетки $Q^{1/2}_{\tau\bar{h}}$ по следующей схеме, аппроксимирующей систему (1.1)

$$
\begin{array}{l}
H_t + (\sigma_1\{\hat{H}, V_{1s_2}\}V_{1s_2})_{x_1} + (\sigma_2\{\hat{H}, V_{2s_1}\}V_{2s_1})_{x_2} = 0, \qquad \mathbf{x} \in \Omega^{1/2}_{\bar{h}};\\
\hat{H}_{\bar{s}_1\bar{s}_2}V_{1t} + \hat{H}_{\bar{s}_1\bar{s}_2}\delta_1\{\hat{V}_1, V_1\} + \hat{H}_{\bar{s}_1\bar{s}_2}\delta_2\{\hat{V}_1, V_2\} + p(\hat{H}_{\bar{s}_2})_{\bar{x}_1} =\\
= \mu\left(\frac{4}{3}(\hat{V}_1)_{x_1\bar{x}_1} + (\hat{V}_1)_{x_2\bar{x}_2}\right) + \frac{\mu}{3}(V_2)^{\ 0\ \ 0}_{x_1 x_2} + f_1\hat{H}_{\bar{s}_1\bar{s}_2}, \qquad \text{при } \hat{H}_{\bar{s}_1\bar{s}_2} \neq 0,\\
\hat{V}_1 = 0, \qquad \text{при } \hat{H}_{\bar{s}_1\bar{s}_2} = 0, \qquad \mathbf{x} \in \Omega_{\bar{h}};\\
\hat{H}_{\bar{s}_1\bar{s}_2}V_{2t} + \hat{H}_{\bar{s}_1\bar{s}_2}\delta_1\{\hat{V}_2, V_1\} + \hat{H}_{\bar{s}_1\bar{s}_2}\delta_2\{\hat{V}_2, V_2\} + p(\hat{H}_{\bar{s}_1})_{\bar{x}_2} =\\
= \mu\left((\hat{V}_2)_{x_1\bar{x}_1} + \frac{4}{3}(\hat{V}_2)_{x_2\bar{x}_2}\right) + \frac{\mu}{3}(V_1)^{\ 0\ \ 0}_{x_1 x_2} + f_2\hat{H}_{\bar{s}_1\bar{s}_2}, \qquad \text{при } \hat{H}_{\bar{s}_1\bar{s}_2} \neq 0,\\
\hat{V}_2 = 0, \qquad \text{при } \hat{H}_{\bar{s}_1\bar{s}_2} = 0, \qquad \mathbf{x} \in \Omega_{\bar{h}}.
\end{array}
\tag{2.1}
$$

В граничных узлах $\gamma_{\bar{h}}$ значения функции $\mathbf{V}$ считаются известными из граничных условий. В граничных узлах, где газ втекает в область, задаются значения плотности газа, которые также берутся из граничных условий.

Разностные уравнения в индексах имеют вид:

$$
\begin{array}{c}
\dfrac{H^{n+1}_{m_1,m_2} - H^n_{m_1,m_2}}{\tau} +\\
+\dfrac{((\tilde{V}_2)^n_{m_1,m_2+1} - |(\tilde{V}_2)^n_{m_1,m_2+1}|)H^{n+1}_{m_1,m_2+1}}{2h_2} + \dfrac{((\tilde{V}_1)^n_{m_1+1,m_2} - |(\tilde{V}_1)^n_{m_1+1,m_2}|)H^{n+1}_{m_1+1,m_2}}{2h_1} +\\
+\left(\dfrac{1}{2h_1}((\tilde{V}_1)^n_{m_1+1,m_2} + |(\tilde{V}_1)^n_{m_1+1,m_2}| - (\tilde{V}_1)^n_{m_1,m_2} + |(\tilde{V}_1)^n_{m_1,m_2}|) +\right.\\
\left.+\dfrac{1}{2h_2}((\tilde{V}_2)^n_{m_1,m_2+1} + |(\tilde{V}_2)^n_{m_1,m_2+1}| - (\tilde{V}_2)^n_{m_1,m_2} + |(\tilde{V}_2)^n_{m_1,m_2}|)\right)H^{n+1}_{m_1,m_2} -\\
-\dfrac{((\tilde{V}_1)^n_{m_1,m_2} + |(\tilde{V}_1)^n_{m_1,m_2}|)H^{n+1}_{m_1-1,m_2}}{2h_1} - \dfrac{((\tilde{V}_2)^n_{m_1,m_2} + |(\tilde{V}_2)^n_{m_1,m_2}|)H^{n+1}_{m_1,m_2-1}}{2h_2} = 0,\\
0 \le m_1 < M_1,\ 0 \le m_2 < M_2,\ n \ge 0.
\end{array}
\tag{2.2}
$$

$$
\begin{gathered}
(\tilde{H})^{n+1}_{m_1,m_2}\left(\frac{(V_1{}^{n+1}_{m_1,m_2}-V_1{}^{n}_{m_1,m_2}}{\tau}-\frac{|V_2{}^{n}_{m_1,m_2}|+V_2{}^{n}_{m_1,m_2}}{2h_2}V_1{}^{n+1}_{m_1,m_2-1}-\right.\\
-\frac{|V_1{}^{n}_{m_1,m_2}|+V_1{}^{n}_{m_1,m_2}}{2h_1}V_1{}^{n+1}_{m_1-1,m_2}+\left(\frac{|V_1{}^{n}_{m_1,m_2}|}{h_1}+\frac{|V_2{}^{n}_{m_1,m_2}|}{h_2}\right)V_1{}^{n+1}_{m_1,m_2}+\\
\left.+\frac{V_1{}^{n}_{m_1,m_2}-|V_1{}^{n}_{m_1,m_2}|}{2h_1}V_1{}^{n+1}_{m_1+1,m_2}+\frac{V_2{}^{n}_{m_1,m_2}-|V_2{}^{n}_{m_1,m_2}|}{2h_2}V_1{}^{n+1}_{m_1,m_2+1}\right)+\\
+\frac{p(H_1{}^{n+1}_{m_1,m_2})-p(H_1{}^{n+1}_{m_1-1,m_2})}{h_1}=\\
=\mu\left(\frac{4}{3}\frac{V_1{}^{n+1}_{m_1-1,m_2}-2V_1{}^{n+1}_{m_1,m_2}+V_1{}^{n+1}_{m_1+1,m_2}}{h_1^2}+\frac{V_1{}^{n+1}_{m_1,m_2-1}-2V_1{}^{n+1}_{m_1,m_2}+V_1{}^{n+1}_{m_1,m_2+1}}{h_2^2}\right)+\\
+\frac{\mu}{3}\frac{V_2{}^{n}_{m_1-1,m_2-1}-V_2{}^{n}_{m_1-1,m_2+1}-V_2{}^{n}_{m_1+1,m_2-1}+V_2{}^{n}_{m_1+1,m_2+1}}{4h_1h_2}+f_1{}^{n+1}_{m_1,m_2}(\tilde{H})^{n+1}_{m_1,m_2},\\
\text{при } \tilde{H}^{n+1}_{\mathbf{m}}\neq 0,\\
\hat{V}_{1m_1,m_2}=0,\qquad \text{при } \tilde{H}^{n+1}_{m_1,m_2}=0;\qquad \mathbf{x}\in\Omega_h.
\end{gathered}
\tag{2.3}
$$

$$
\begin{gathered}
(\tilde{H})^{n+1}_{m_1,m_2}\left(\frac{(V_2{}^{n+1}_{m_1,m_2}-V_2{}^{n}_{m_1,m_2}}{\tau}-\frac{|V_2{}^{n}_{m_1,m_2}|+V_2{}^{n}_{m_1,m_2}}{2h_2}V_2{}^{n+1}_{m_1,m_2-1}-\right.\\
-\frac{|V_1{}^{n}_{m_1,m_2}|+V_1{}^{n}_{m_1,m_2}}{2h_1}V_2{}^{n+1}_{m_1-1,m_2}+\left(\frac{|V_1{}^{n}_{m_1,m_2}|}{h_1}+\frac{|V_2{}^{n}_{m_1,m_2}|}{h_2}\right)V_2{}^{n+1}_{m_1,m_2}+\\
\left.+\frac{V_1{}^{n}_{m_1,m_2}-|V_1{}^{n}_{m_1,m_2}|}{2h_1}V_2{}^{n+1}_{m_1+1,m_2}+\frac{V_2{}^{n}_{m_1,m_2}-|V_2{}^{n}_{m_1,m_2}|}{2h_2}V_2{}^{n+1}_{m_1,m_2+1}\right)+\\
+\frac{p(H_2{}^{n+1}_{m_1,m_2})-p(H_2{}^{n+1}_{m_1,m_2-1})}{h_2}=\\
=\mu\left(\frac{V_2{}^{n+1}_{m_1-1,m_2}-2V_2{}^{n+1}_{m_1,m_2}+V_2{}^{n+1}_{m_1+1,m_2}}{h_1^2}+\frac{4}{3}\frac{V_2{}^{n+1}_{m_1,m_2-1}-2V_2{}^{n+1}_{m_1,m_2}+V_2{}^{n+1}_{m_1,m_2+1}}{h_2^2}\right)+\\
+\frac{\mu}{3}\frac{V_1{}^{n}_{m_1-1,m_2-1}-V_1{}^{n}_{m_1-1,m_2+1}-V_1{}^{n}_{m_1+1,m_2-1}+V_1{}^{n}_{m_1+1,m_2+1}}{4h_1h_2}+f_2{}^{n+1}_{m_1,m_2}(\tilde{H})^{n+1}_{m_1,m_2},\\
\text{при } \tilde{H}^{n+1}_{\mathbf{m}}\neq 0,\\
\hat{V}_{2m_1,m_2}=0,\qquad \text{при } \tilde{H}^{n+1}_{m_1,m_2}=0;\qquad \mathbf{x}\in\Omega_h.
\end{gathered}
\tag{2.4}
$$

По этой схеме на каждом временном слое решается СЛАУ, решением которой является сеточная функция плотности H^{n+1}, а затем в любом порядке решаются СЛАУ, которые задают функции V_1^{n+1} и V_2^{n+1}. Последние две системы можно решать независимо.

3 Заполнение матрицы первой системы

```
void fill_first (int k, std::map<unsigned int, double> &A,
std::vector<double> &B, trio &essential)
{
  discrete_function &H = essential.m_tdfH.get_cut (k);
  discrete_function &V1 = essential.m_tdfV1.get_cut (k);
  discrete_function &V2 = essential.m_tdfV2.get_cut (k);

  double t = essential.m_tdfH.get_scale ()->get_time (k + 1);
  double tau = essential.m_tdfH.get_scale ()->get_parameters ().m_t_step;
  double h1 = essential.m_tdfH.get_grid ()->get_parameters ().m_x_step;
  double h2 = essential.m_tdfH.get_grid ()->get_parameters ().m_y_step;

  MatrixSetter A_at (A, H);
  VectorSetter B_at (B, H);

  H.do_for_each ([&] (index ij, point xy, discrete_function &)
  {
    int m1 = ij.first, m2 = ij.second;
    double x = xy.first, y = xy.second;

    if (process_H_edge (m1, m2, A_at, B_at))
      return;

    A_at(m1,m2,0,0)=1.
                  +tau*(xpabs(V1.tilda(m1+1,m2))-xmabs(V1.tilda(m1,m2)))/2./h1
                  +tau*(xpabs(V2.tilda(m1,m2+1))-xmabs(V2.tilda(m1,m2)))/2./h2;

    A_at(m1,m2,+1,0)=tau*xmabs(V1.tilda (m1+1,m2))/2./h1;
    A_at(m1,m2,0,+1)=tau*xmabs(V2.tilda (m1,m2+1))/2./h2;
    A_at(m1,m2,-1,0)=-tau*xpabs(V1.tilda (m1,m2))/2./h1;
    A_at(m1,m2,0,-1)=-tau*xpabs(V2.tilda (m1,m2))/2./h2;

    B_at(m1,m2)=H.val(m1,m2)+tau*f_1 (t,x,y);
  });
}
```

4 Заполнение матрицы второй системы

```
void fill_second (int k, std::map<unsigned int, double> &A,
std::vector<double> &B, trio &essential)
{
  discrete_function &H = essential.m_tdfH.get_cut (k + 1);
  discrete_function &V1 = essential.m_tdfV1.get_cut (k);
  discrete_function &V2 = essential.m_tdfV2.get_cut (k);

  double t = essential.m_tdfV1.get_scale ()->get_time (k + 1);
  double tau = essential.m_tdfV1.get_scale ()->get_parameters ().m_t_step;
  double h1 = essential.m_tdfV1.get_grid ()->get_parameters ().m_x_step;
  double h2 = essential.m_tdfV1.get_grid ()->get_parameters ().m_y_step;

  MatrixSetter A_at (A, V1);
  VectorSetter B_at (B, V1);

  V1.do_for_each ([&] (index ij, point xy, discrete_function &)
  {
    int m1 = ij.first, m2 = ij.second;
    double x = xy.first, y = xy.second;
    double check = (H.val(m1,m2)+H.val(m1,m2-1)+H.val(m1-1,m2)+H.val(m1-1,m2-1))/4.0;

    if (process_V_edge (m1, m2, check, A_at, B_at))
      return;

    A_at(m1,m2,0,0)=check*(1.+tau/h1*fabs(V1.val(m1,m2))+tau/h2*fabs(V2.val(m1,m2)))
                    +tau*MIU*(8./3./h1/h1+2./h2/h2);

    A_at(m1,m2,-1,0)=-tau/2./h1*xpabs(V1.val(m1,m2))*check
                    -4./3.*tau*MIU/h1/h1;
    A_at(m1,m2,+1,0)=tau/2./h1*xmabs(V1.val(m1,m2))*check
                    -4./3.*tau*MIU/h1/h1;
    A_at(m1,m2,0,-1)=-tau/2./h2*xpabs(V2.val(m1,m2))*check
                    -tau*MIU/h2/h2;
    A_at(m1,m2,0,+1)=tau/2./h2*xmabs(V2.val(m1,m2))*check
                    -tau*MIU/h2/h2;

    B_at(m1,m2)=check*V1.val(m1,m2)-tau/h1*(p(H.left(m1,m2))-p(H.left(m1-1,m2)))
              +tau*MIU/12./h1/h2*(V2.val(m1+1,m2+1)-V2.val(m1+1,m2-1)-V2.val(m1-1,m2+1)+V2.v
              +tau*f_2(t,x,y)*check;
  });
}
```

5 Заполнение матрицы третьей системы

```
void fill_third (int k, std::map<unsigned int, double> &A,
std::vector<double> &B, trio &essential)
{
  discrete_function &H = essential.m_tdfH.get_cut (k + 1);
  discrete_function &V1 = essential.m_tdfV1.get_cut (k);
  discrete_function &V2 = essential.m_tdfV2.get_cut (k);

  double t = essential.m_tdfV2.get_scale ()->get_time (k + 1);
  double tau = essential.m_tdfV2.get_scale ()->get_parameters ().m_t_step;
  double h1 = essential.m_tdfV2.get_grid ()->get_parameters ().m_x_step;
  double h2 = essential.m_tdfV2.get_grid ()->get_parameters ().m_y_step;

  MatrixSetter A_at (A, V2);
  VectorSetter B_at (B, V2);

  V2.do_for_each ([&] (index ij, point xy, discrete_function &)
  {
    int m1 = ij.first, m2 = ij.second;
    double x = xy.first, y = xy.second;
    double check = (H.val(m1,m2)+H.val(m1,m2-1)+H.val(m1-1,m2)+H.val(m1-1,m2-1))/4.0;

    if (process_V_condition (m1, m2, A_at, B_at))
      return;

    if (process_V_edge (m1, m2, check, A_at, B_at))
      return;

    A_at(m1,m2,0,0)=check*(1.+tau/h1*fabs(V1.val(m1,m2))+tau/h2*fabs(V2.val(m1,m2)))
                    +tau*MIU*(2./h1/h1+8./3./h2/h2);

    A_at(m1,m2,-1,0)=-tau/2./h1*xpabs(V1.val(m1,m2))*check
                     -tau*MIU/h1/h1;
    A_at(m1,m2,+1,0)=tau/2./h1*xmabs(V1.val(m1,m2))*check
                     -tau*MIU/h1/h1;
    A_at(m1,m2,0,-1)=-tau/2./h2*xpabs(V2.val(m1,m2))*check
                     -4./3.*tau*MIU/h2/h2;
    A_at(m1,m2,0,+1)=tau/2./h2*xmabs(V2.val(m1,m2))*check
                    -4./3.*tau*MIU/h2/h2;

    B_at(m1,m2)=check*V2.val(m1,m2)-tau/h2*(p(H.right(m1,m2))-p(H.right(m1,m2-1)))
              +tau*MIU/12./h1/h2*(V1.val(m1+1,m2+1)-V1.val(m1+1,m2-1)-V1.val(m1-1,m2+1)+V1.v
              +tau*f_3(t,x,y)*check;
  });
}
```

6 Таблицы невязок в непрерывном случае:

6.1 MIU = 0.100

Таблица 1: Функция: H Тип невязки: C

M/N	21	42	84	168
21	1e+00	7e-01	4e-01	1e+01
42	1e+00	7e-01	4e-01	2e-01
84	1e+00	6e-01	4e-01	2e-01
168	1e+00	6e-01	4e-01	2e-01

Таблица 2: Функция: V1 Тип невязки: C

M/N	21	42	84	168
21	6e-01	3e-01	2e-01	1e+00
42	7e-01	4e-01	2e-01	8e-02
84	7e-01	4e-01	2e-01	1e-01
168	7e-01	4e-01	2e-01	1e-01

Таблица 3: Функция: V2 Тип невязки: C

M/N	21	42	84	168
21	2e-01	1e-01	1e-01	1e+00
42	2e-01	1e-01	8e-02	5e-02
84	2e-01	1e-01	8e-02	4e-02
168	2e-01	1e-01	8e-02	4e-02

Таблица 4: Функция: H Тип невязки: L2

M/N	21	42	84	168
21	3e+00	2e+00	1e+00	9e+00
42	3e+00	1e+00	9e-01	7e-01
84	3e+00	1e+00	7e-01	5e-01
168	2e+00	1e+00	7e-01	4e-01

Таблица 5: Функция: V1 Тип невязки: L2

M/N	21	42	84	168
21	2e+00	8e-01	3e-01	9e-01
42	2e+00	1e+00	5e-01	2e-01
84	2e+00	1e+00	5e-01	2e-01
168	2e+00	1e+00	6e-01	3e-01

Таблица 6: Функция: V2 Тип невязки: L2

M/N	21	42	84	168
21	7e-01	4e-01	3e-01	1e+00
42	7e-01	4e-01	2e-01	1e-01
84	7e-01	4e-01	2e-01	1e-01
168	6e-01	4e-01	2e-01	1e-01

6.2 MIU = 0.010

Таблица 7: Функция: H Тип невязки: C

M/N	21	42	84	168
21	1e+00	7e-01	4e-01	7e+01
42	1e+00	7e-01	4e-01	2e-01
84	1e+00	7e-01	4e-01	2e-01
168	1e+00	7e-01	4e-01	2e-01

Таблица 8: Функция: V1 Тип невязки: C

M/N	21	42	84	168
21	7e-01	3e-01	2e-01	4e+00
42	7e-01	4e-01	2e-01	9e-02
84	7e-01	4e-01	2e-01	1e-01
168	7e-01	4e-01	2e-01	1e-01

Таблица 9: Функция: V2 Тип невязки: C

M/N	21	42	84	168
21	3e-01	2e-01	1e-01	6e+00
42	3e-01	2e-01	9e-02	6e-02
84	3e-01	2e-01	9e-02	5e-02
168	3e-01	2e-01	9e-02	5e-02

Таблица 10: Функция: H Тип невязки: L2

M/N	21	42	84	168
21	3e+00	2e+00	1e+00	3e+01
42	3e+00	1e+00	9e-01	7e-01
84	3e+00	1e+00	8e-01	5e-01
168	3e+00	1e+00	7e-01	4e-01

Таблица 11: Функция: V1 Тип невязки: L2

M/N	21	42	84	168
21	2e+00	9e-01	4e-01	3e+00
42	2e+00	1e+00	5e-01	2e-01
84	2e+00	1e+00	5e-01	2e-01
168	2e+00	1e+00	6e-01	3e-01

Таблица 12: Функция: V2 Тип невязки: L2

M/N	21	42	84	168
21	7e-01	4e-01	3e-01	8e+00
42	7e-01	4e-01	2e-01	2e-01
84	7e-01	4e-01	2e-01	1e-01
168	7e-01	4e-01	2e-01	1e-01

6.3 MIU = 0.001

Таблица 13: Функция: H Тип невязки: C

M/N	21	42	84	168
21	1e+00	7e-01	4e-01	1e+02
42	1e+00	7e-01	4e-01	2e-01
84	1e+00	7e-01	4e-01	2e-01
168	1e+00	7e-01	4e-01	2e-01

Таблица 14: Функция: V1 Тип невязки: C

M/N	21	42	84	168
21	7e-01	3e-01	2e-01	4e+00
42	7e-01	4e-01	2e-01	9e-02
84	7e-01	4e-01	2e-01	1e-01
168	7e-01	4e-01	2e-01	1e-01

Таблица 15: Функция: V2 Тип невязки: C

M/N	21	42	84	168
21	3e-01	2e-01	1e-01	5e+00
42	3e-01	2e-01	9e-02	6e-02
84	3e-01	2e-01	9e-02	5e-02
168	3e-01	2e-01	9e-02	5e-02

Таблица 16: Функция: H Тип невязки: L2

M/N	21	42	84	168
21	3e+00	2e+00	1e+00	3e+01
42	3e+00	1e+00	9e-01	7e-01
84	3e+00	1e+00	8e-01	5e-01
168	3e+00	1e+00	7e-01	4e-01

Таблица 17: Функция: V1 Тип невязки: L2

M/N	21	42	84	168
21	2e+00	9e-01	4e-01	4e+00
42	2e+00	1e+00	5e-01	2e-01
84	2e+00	1e+00	6e-01	3e-01
168	2e+00	1e+00	6e-01	3e-01

Таблица 18: Функция: V2 Тип невязки: L2

M/N	21	42	84	168
21	7e-01	5e-01	3e-01	9e+00
42	7e-01	4e-01	2e-01	2e-01
84	7e-01	4e-01	2e-01	1e-01
168	7e-01	4e-01	2e-01	1e-01

6.4 Стабилизация течения в разрывном случае:

6.5 Примеры графиков, непрерывный случай:

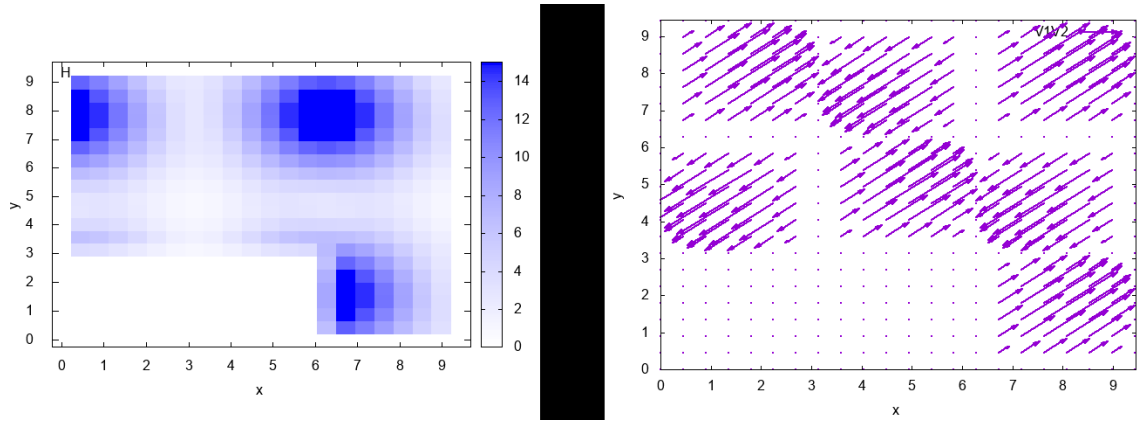

Рис. 1: N = M = 21

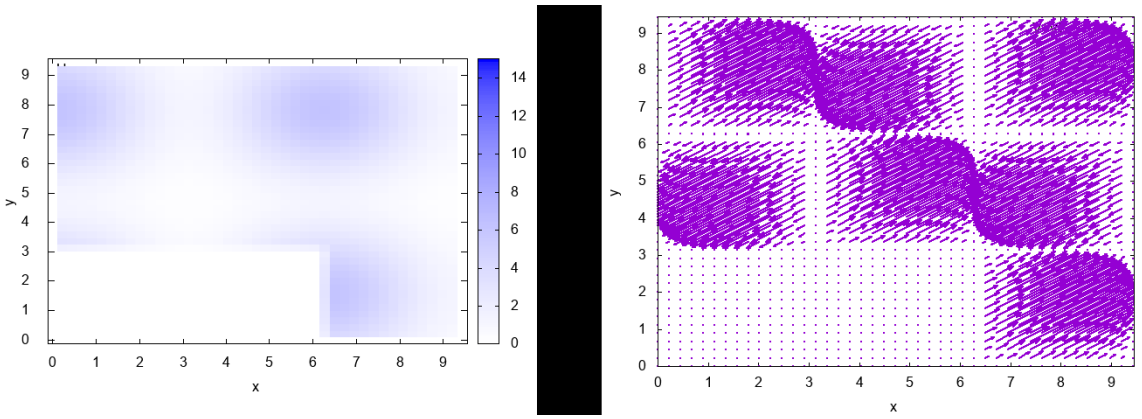

Рис. 2: N = M = 42

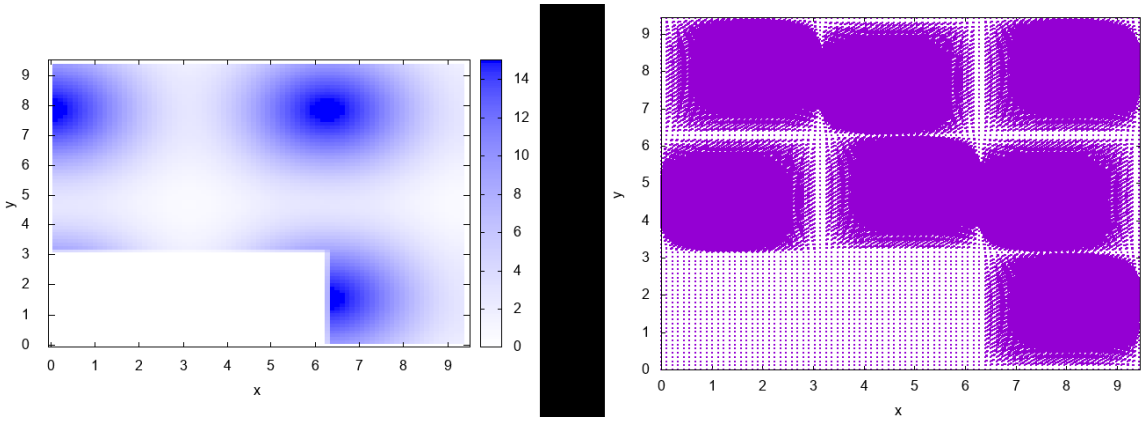

Рис. 3: N = M = 84

6.6 Примеры графиков, разрывный случай

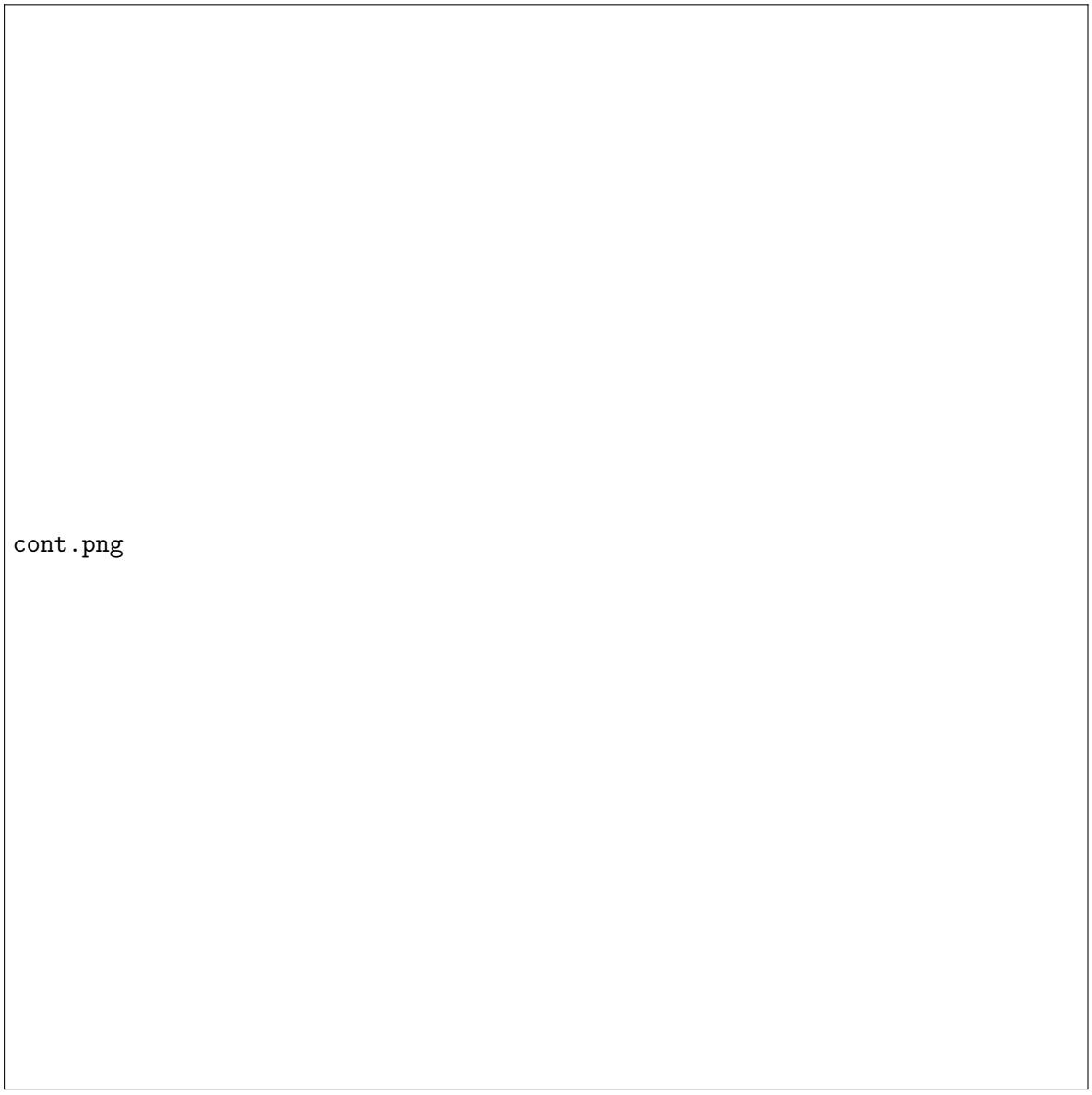

7 Выводы